

Research Paper

**The Effect of Gamma Value Alterations for Detecting Vertical Root Fracture
in Indirect Digital Radiograph (an In-vitro Study)**



Mohammad Yazdizadeh¹, *Ali Habibikia², Parnian Alavinejad¹, Amirmohammad Aghamirzadeh¹

1. Department of Endodontics , Faculty of Dentistry, Ahvaz Jundishapur University of Medical Sciences, Ahvaz, Iran.

2. Department of Oral and Maxillofacial Radiology, Faculty of Dentistry, Ahvaz Jundishapur University of Medical Sciences, Ahvaz, Iran.



Citation Yazdizadeh M, Habibikia A, Alavinejad P, Aghamirzadeh A. [The Effect of Gamma Value Alterations for Detecting Vertical Root Fracture in Indirect Digital Radiograph (an In-vitro Study) (Persian)]. *Jundishapur Journal of Medical Sciences*. 2022; 21(5):688-699.
<https://doi.org/10.32598/JSMJ.21.5.2579>

<https://doi.org/10.32598/JSMJ.21.5.2579>



ABSTRACT

Background and Objectives Most digital imaging systems offer a variety of image processing techniques. Due to the importance of the accuracy of these images and their widespread application, this study aims to evaluate the detection of vertical root fracture (VRF) in indirect digital images by changing their gamma values.

Subjects and Methods In this study, 23 extracted teeth were prepared as samples from dental clinics in Ahvaz, Iran. The radiographs were obtained from the samples before and after VRF induction. After root canal preparation, a very thin disc was used to divide the teeth into two halves in the buccal-lingual direction to create a VRF. The two halves were re-attached to each other and mounted in molds filled with a mixture of plaster and sawdust. After processing the images by adjusting their gamma values using low, medium and high settings, the images were viewed by two radiologists for the presence or absence of VRF.

Results In all three modes of gamma adjustment, the sensitivity, specificity and overall accuracy of images were high and there was no significant difference between the three modes.

Conclusion The high gamma for digital images can be used as a filter to detect VRF. The images with medium and low gamma values are less helpful for detecting VRF.

Keywords Gamma value, Indirect digital radiography, Vertical root fracture (VRF)

Received: 16 Jul 2021

Accepted: 10 Nov 2021

Available Online: 22 Nov 2022

*Corresponding Author:

Ali Habibikia, Assistant Professor.

Address: Department of Oral and Maxillofacial Radiology, Faculty of Dentistry, Ahvaz Jundishapur University of Medical Sciences, Ahvaz, Iran.

Tel: +98 (902) 6260011

E-Mail: alihabibikia@yahoo.com

Extended Abstract

Introduction

Vertical root fracture (VRF) may initiate from the internal root (canal wall) or from the apex or middle part of the root. Radiographic diagnosis of VRF is difficult due to various fracture patterns, and in many cases, fractures are not seen on radiographs. Only one-third of these fractures can be detected by conventional radiography. Conventional radiography creates only two-dimensional image of an anatomical structure. The emergence of digital imaging was a revolution in radiography. Digital radiography eliminates the presence of hazardous chemicals and waste used in developing the image. In recent years, several intra-oral digital radiography systems have been introduced for dental imaging. The most important advantages of these systems are reduction of X-ray dose, ability to exchange information, reduction of working time, and elimination of the need for using fixer and developer solutions. In some studies, the resolution and amplitude of digital images have been reported to lower than those of conventional images, although the image can be improved by using image processing software and the factors affecting image quality can be reduced. There are many processing algorithms that improve the quality of digital images. Noise reduction, sharpening/smoothing, edge enhancement, and gamma value adjustment are some of these algorithms. These algorithms can make the image more pleasant for the viewer, but their detection ability is debatable and their use may lead to the removal of fine details from the image. Digital radiography does not always effectively use the shades of gray. The images can be either too dark or too light, or have very high or insufficient contrast in certain areas. Some tools provide the possibility to adjust the gamma value. The gamma value is a feature of an X-ray image, whose increase makes dark areas darker and light areas lighter. So far, no study has been conducted on the effect of gamma value adjustment for diagnosing VRF; therefore, we aim to investigate the diagnosis of VRF with digital radiography by adjusting the gamma value of the images.

Methods

In this study, 23 extracted teeth were used as samples which were prepared from dental clinics in Ahvaz, Iran. Radiographs were prepared from the samples before the induction of VRF (group 1), and again after complete VRF induction (group 2). Roots of samples were prepared using hand K-Files (Mani, Japan) ranging in size from 15 to 80 by passive step-back method, and obtura-

tion was done with gutta-percha of suitable size based on lateral condensation method using manual spreader. To induce VRF in the samples, we divided the teeth into two halves with a very thin disc in the buccolingual direction. Then, the two halves were attached to each other again using an adhesive wax and mounted in molds filled with a mixture of plaster and sawdust. To simulate the periodontal ligament space, we covered the tooth with a thin layer of red wax. Indirect digital images were prepared by photostimulable storage phosphor plates in the Digora system (Optime, Soredex, Finland). Digital images were processed in Scanora software, version 3 (Astara32, Soredex, Finland) to adjust their gamma value using low, medium, and high settings. The obtained data were calculated with the gold standard and used for statistical analysis. The radiation to plates was done with XGenus DC device (de Gotzen, Italy) with following settings: kvp=70, mA=8, exposure time=0.32 seconds, total aluminum filtration thickness=2 mm, and focal spot=32 cm. An acrylic plate with a thickness of 1.5 cm was placed between the X-ray tube and the teeth to mimic soft tissue. In Scanora software, two copies of each image were first prepared. Then, the option of gamma setting was selected for each image, where we used 50 for low gamma, 100 for medium gamma, and 150 for high gamma. Then, two radiologists examined the images. They used the same monitor in the same room and under the same conditions for viewing the images. To avoid eye fatigue, they were not allowed to view more than 20 images in each round of evaluation. The images had been coded and it was known what tooth numbers had been included in each image.

Results

In digital images with low gamma viewed by the first observer, the sensitivity, specificity, and overall accuracy were 91.30%, 82.61% and 87%, respectively. McNemar's test results showed no significant difference between digital imaging with low gamma rate and control setting ($P=0.688$). In digital images with medium gamma viewed by the first observer, the sensitivity, specificity, and overall accuracy were 91.30%, 86.96% and 89%, respectively. McNemar's test results showed no significant difference between digital imaging with medium gamma imaging and control setting ($P=0.999$).

In digital images with low gamma viewed by the second observer, the sensitivity, specificity, and overall accuracy were 91.30%, 73.91% and 83%, respectively. McNemar's test results showed significant difference between imaging with the low gamma and control setting ($P=0.289$). In digital images with medium gamma level

viewed by the second observer, the sensitivity, specificity, and overall accuracy were 95.65%, 78.26% and 87%, respectively. McNemar's test results showed no significant difference between digital imaging with medium gamma and control setting ($P=0.219$). The area under the ROC curve (AUC) for the first observer was 87% in images with low gamma, 89% in images with medium gamma, and 87% in images with high gamma, but there was no significant difference between these AUCs ($P>0.05$). The AUC for the second observer was 83% in images with low gamma, 87% in images with medium gamma, and 89% in images with high gamma, but there was no significant difference between these AUCs ($P>0.05$).

Conclusion

The sensitivity, specificity, and overall accuracy of digital images are high in all three modes (low, medium, and high gamma), and there is no significant difference between these modes; however, the images with medium gamma and high gamma are slightly better than those with low gamma, the best setting for diagnosis depends on the opinion of the observer.

Ethical Considerations

Compliance with ethical guidelines

This study was approved by the ethics committee of Ahvaz Jundishapur University of Medical Sciences (Code: IRAJUMS.REC.1399.98).

Funding

This research did not receive any specific grant from funding agencies in the public, commercial, or not-for-profit sectors.

Authors contributions

Sample preparation: Ali Habibikia; Writing, data analysis, and methodology: Amirmohammad Aghamirzadeh and Mohammad Yazdizadeh; Supervision and project administration: Parnian Alavinejad.

Conflicts of interest

The authors declared no conflict of interest.

مقاله پژوهشی

تأثیر تغییرات میزان گاما در تشخیص شکستگی عمودی ریشه در رادیوگرافی دیجیتال غیرمستقیم:
مطالعه آزمایشگاهیمحمد یزدیزاده^۱, علی حبیبی کیا^{۲*}, پرینیان علوی نژاد^۱, امیرمحمد آقامیرزاده^۱

۱. گروه اندودانتیکس، دانشکده دندانپزشکی، دانشگاه علوم پزشکی جندی شاپور اهواز، اهواز، ایران.
 ۲. گروه رادیولوژی دهان فک و صورت، دانشکده دندانپزشکی، دانشگاه علوم پزشکی جندی شاپور اهواز، اهواز، ایران.



Citation: Yazdizadeh M, Habibikia A, Alavinejad P, Aghamirzadeh A. [The Effect of Gamma Value Alterations for Detecting Vertical Root Fracture in Indirect Digital Radiograph (an In-vitro Study) (Persian)]. *Jundishapur Journal of Medical Sciences*. 2022; 21(5):688-699. <https://doi.org/10.32598/JSMJ.21.5.2579>

doi: <https://doi.org/10.32598/JSMJ.21.5.2579>

چیکیده



متنه و هدف امروزه اغلب سیستم‌های تصویربرداری دیجیتال انواع مختلفی از تکنیک‌های پردازش تصویر را در دسترس قرار می‌دهند. با توجه به اهمیت دقت و کاربرد گسترده آن‌ها در این مطالعه به بررسی شکستگی عمودی ریشه در رادیوگرافی دیجیتال غیرمستقیم از طریق تغییر میزان گاما تصور (مطالعه آزمایشگاهی) پرداختیم.

روضه پژوهی: برای این منظور از ۲۳ عدد از دندان‌های کشیده در کلینیک‌های دندانپزشکی اهواز استفاده شد. قبل و بعد از القای شکستگی عمودی ریشه از نمونه‌ها رادیوگرافی تهیه شد. آماده‌سازی کالال دندان‌ها صورت گرفت و جهت ایجاد شکستگی عمودی از یک دیسک بسیار نازک در جهت باکولینگوالی استفاده شد. نمونه‌ها دوباره در مخلوط گچ و خاک اره مانت شدند. پس از پردازش تصاویر با تغییر دادن میزان گاما، با درجات کم، متوسط و زیاد، گرافی‌ها توسط ۲ متخصص رادیولوژیست از نظر وجود یا عدم وجود شکستگی عمودی ریشه ارزیابی شدند.

یافته‌ها با توجه به آزمون‌های انجام شده و نتایج در هر ۳ روش، حساسیت و اختصاصیت و صحت کلی بالا بود و اختلاف معناداری بین ۳ حالت مشاهده نشد.

نتیجه گیری: تصاویر با گاما زیاد که جهت تشخیص شکستگی عمودی ریشه به کار می‌روند، می‌توانند به عنوان یک فیلتر مورد پردازش قرار بگیرند و تصاویر با گاما متوسط و کم به میزان نسبتاً کمتری در شناسایی شکستگی عمودی ریشه به ما کمک می‌کنند.

کلیدواژه‌ها: تغییرات میزان گاما، رادیوگرافی دیجیتال غیرمستقیم، شکستگی عمودی ریشه

تاریخ دریافت: ۲۵ تیر ۱۴۰۰

تاریخ پذیرش: ۱۹ آبان ۱۴۰۰

تاریخ انتشار: ۱۰ آذر ۱۴۰۱

* نویسنده مسئول:

علی حبیبی کیا

نشانی: اهواز، دانشگاه علوم پزشکی جندی شاپور اهواز، دانشکده دندانپزشکی، گروه اندودانتیکس.

تلفن: +۹۸ (۰۶۲۶۲۰۰۱۱)

ایمیل: alihabibikia@yahoo.com

سیستم‌های رادیوگرافی دیجیتال داخل‌دهانی متعددی به عرصه دندانپزشکی معرفی شده‌اند. مهم‌ترین مزایای این سیستم‌ها عبارت‌اند از: کاهش $\frac{1}{2}$ اشعه ایکس، قابلیت تبادل اطلاعات، کاهش زمان کار و حذف ظهور و ثبوت با محلول. در تعدادی از مطالعات رزولوشن (وضوح) و دامنه تصاویر دیجیتال پایین‌تر از رادیوگرافی معمولی ارزیابی شده است. تصویر دیجیتال دارای این قابلیت ممتاز است که با استفاده از نرم‌افزار پردازش تصویر می‌توان اطلاعات بالرزش را بهبود بخشید و عوامل مخل کیفیت تصویر را کاهش داد [۴].

فیلم معمولی و سیستم رادیوگرافی دیجیتال محدودیت‌های مختلفی برای تشخیص شکستگی عمودی ریشه دارند، شامل این حقیقت که اشعه \times باید از خط شکستگی عبور کند تا بتواند اندازه‌گیری شود. سیستم تصویربرداری دیجیتال در مقایسه با فیلم معمولی مزیت‌هایی از جمله کاهش $\frac{1}{2}$ اشعه برای بیمار و داشتن ابزارها و برنامه‌ای برای بهبود کیفی تصویر و حذف تاریکخانه و محلول‌های شیمیایی دارد [۵].

الگوریتم‌های پردازش متعددی وجود دارند که کیفیت تصاویر دیجیتال را بهبود می‌بخشند؛ کاهش نویز^۳، تیز کردن صاف کردن (بهبود لبه‌ها)^۴، افزایش لبه^۵ و تغییر مقدار گاما^۶ مثال‌هایی از این الگوریتم‌ها هستند. این فیلترها می‌توانند تصویر را از نظر بیننده خوشایندتر کنند، اما ارزش تشخیص آن‌ها مورد بحث است و کاربرد آن‌ها ممکن است به حذف جزئیات ظرفی تصویر منجر شود [۶].

رادیوگرافی دیجیتال همیشه به طور مؤثر، از دامنه کامل سایه‌های خاکستری استفاده نمی‌کند. آن‌ها می‌توانند نسبتاً نیره یا روشن باشند و می‌توانند در مناطقی مشخص، کنتراست بسیار بالا یا ناکافی نشان دهند. برخی از ابزارها امکان تنظیم مقدار گاما را فراهم می‌کنند. گاما تصویر یک ویژگی تصویر است، به‌گونه‌ای که با تغییر دادن مقدار گاما تصویر کنتراست تصویر را به طور انتخابی در مناطق روشن‌تر و یا تیره‌تر تصویر افزایش می‌دهند [۸].

باتوجه به اینکه تاکنون درمورد تأثیر تغییرات میزان گاما در تشخیص شکستگی عمودی ریشه مطالعه‌ای انجام نگرفته است، بر آن شدیدم که تشخیص شکستگی عمودی ریشه را در رادیوگرافی دیجیتال با تغییر میزان گاما بررسی کنیم و گامی در بهبود عملکرد تشخیصی و به تبع آن سلامت و رضایت بیماران برداریم.

- 3. Noise reduction
- 4. Sharpening-smoothing
- 5. Edge enhancement
- 6. Gamma value alteration

مقدمه

شکستگی‌های عمودی ریشه^۱ احتمالاً از داخل (دیواره کanal) شروع به گسترش می‌کنند یا ممکن است از اپکس یا بخش میانی ریشه شروع شوند.

دو علت اصلی اثبات شده برای ایجاد شکستگی عمودی ریشه سمان کردن پست و متراکم کردن مواد حین پر کردن ریشه است. ریشه‌های مستعد شکستگی عمودی ریشه، ریشه‌های انحنیدار، عریض از جهت فاسیولینگوال و باریک در جهت مزبودیستال، مثل پرمولرها و اینسیزورهای مندبیل، پرمولر دوم ماگزیلا مزیو باکال مولر ماگزیلا و ریشه‌های مزیال و دیستال مولر مندبیل هستند.

شکستگی عمودی ریشه اغلب با بیماری پریودنتال یا درمان ریشه^۲ شکست‌خورده اشتباہ گرفته می‌شود، بهندرت علامت‌دار است و معمولاً تورم موضعی یا آبسه پریودنتال عاملی است که بیمار را به مطب می‌آورد. در رادیوگرافی اغلب همراه با تحلیل در سطح جانبی ریشه به همراه تحلیل زاویه‌دار در سرویکال است. halo like hanging drop یا Shape L یا F ممکن است نمای شایع ترین فرم وجود داشته باشد. شکستگی‌های عمودی ریشه شایع‌ترین فرم شکستگی‌های طولی دندان هستند [۱].

در دندان‌هایی که درمان ریشه نشده‌اند، شکستگی عمودی ریشه ممکن است به عنوان نتیجه گسترش اپیکالی یک ترک کرونالی در عاج ریشه‌ای رخ دهد. فاکتورهای اتیولوژیک شامل فشارهای مضغی (جویدن) بیش از حد، عادات پارافانکشنال و پرسه‌های ترمیمی قبلی است [۲].

تشخیص رادیوگرافی شکستگی عمودی ریشه به خاطر الگوهای متنوع شکستگی دشوار است و در بسیاری از نمونه‌ها شکستگی‌ها در رادیوگرافی دیده نمی‌شوند. متأسفانه فقط یک‌سوم این شکستگی‌ها می‌توانند با رادیوگرافی معمولی تشخیص داده شوند. رادیوگرافی معمولی تنها ۲ بعد از ۳ یک ساختار آناتومیک را نشان می‌دهد.

تشخیص قطعی رادیوگرافیک شکستگی عمودی ریشه با وجود ۲ مورد ممکن می‌شود: یکی حضور یک خط رادیولوستnt hair-like در حجم دنتین و دیگری تظاهر رادیوگرافیک جداسدگی قطعه ریشه که اغلب باز دست رفت و وسیع استخوان اطراف ریشه یا دندان همراه است [۳].

ظهور تصویربرداری دیجیتال، تحولی در رادیوگرافی ایجاد کرد. رادیوگرافی دیجیتال ظهور و ثبوت شیمیایی و مواد زاید پر خطر مورداستفاده در آن را حذف می‌کند. در سال‌های اخیر

- 1. Vertical Root Fracture (VRF)
- 2. Root Canal therap (RCT)

روشن برسی

صفحه آکریلی با ضخامت ۱/۵ سانتی‌متر بین تیوب اشعه X و دندان‌ها جهت بازسازی بافت نرم قرار گرفت (تصاویر شماره ۱ و ۲).

تعیین میزان گاما

در نرمافزار Scanora ابتدا ۲ کپی از هر تصویر تهیه شد. سپس گزینه تغییرات گاما برای هر تصویر انتخاب شد، بهنحوی که برای میزان گاما کم عدد ۵۰، برای گاما متوسط عدد ۱۰۰ و برای گاما زیاد عدد ۱۵۰ انتخاب شد. سپس ۲ متخصص رادیولوژی، تصاویر را بررسی کردند. تمامی مشاهده‌گرها از یک مانیتور در یک اتاق و شرایط یکسان برای مشاهده تصاویر استفاده کردند. جهت جلوگیری از خستگی چشم مشاهده‌گرها در هر نوبت ارزیابی، بیسی از ۲۰ تصویر مشاهده نشد. رادیوگرافی‌ها کدگذاری شده بودند و مشخص بود که در هر رادیوگرافی چه شماره‌هایی قرار گرفته است [۲].

روشن محاسبه اندازه نمونه‌ها و نمونه‌گیری

برای محاسبه اندازه نمونه‌ها و نمونه‌گیری از فرمول شماره ۱ و ۲ استفاده شد:

$$N = \frac{Z_{1-2\alpha}^2(1-p)}{d^2}$$

$$P=0/68$$

$$1.$$

$$1-24$$

$$D=0/11$$

برای این منظور از ۲۳ عدد از دندان‌های کشیده در کلینیک‌های دندان‌پزشکی اهواز استفاده شد. قبل از القای شکستگی عمودی ریشه از نمونه‌ها رادیوگرافی تهیه شد (گروه ۱)، از این دندان‌ها دوباره بعد از القای شکستگی عمودی ریشه کامل رادیوگرافی تهیه شد (گروه ۲). ریشه دندان‌ها با استفاده از K-File (MANI) از سایز ۱۵ تا ۸۰ به روش پسیو استپ بک آماده سازی شد و آجوریشن با گوتاپر کاباسایز مناسب و روش تراکم جانبی و با استفاده از اسپریدر دستی صورت گرفت. جهت ایجاد شکستگی عمودی ریشه القایی در نمونه‌ها، با یک دیسک بسیار نازک در جهت بالکولینگوالی به صورت طولی دندان‌ها را به ۲ نیمه تقسیم و به این صورت شکستگی عمودی کامل ایجاد شد. نمونه‌ها را با موم چسب دوباره در کنار هم قرار داده شدند و در مخلوطی از گچ و خاک اره مانت شدند و برای شبیه‌سازی فضای لیگامان پریودنتال، اطراف دندان بالایه نازکی از موم قرمز پوشانده شدند [۹].

تهیه تصاویر

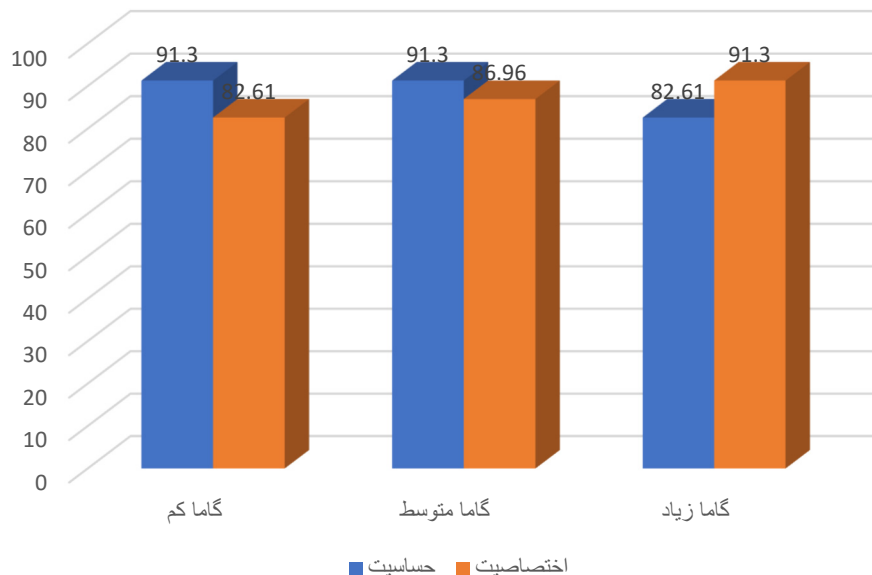
رادیوگرافی‌های دیجیتال غیرمستقیم توسط صفحات PSP در سیستم Digora (Optime, Sordex-, Finland) تهیه شد. رادیوگرافی‌های دیجیتال به منظور تغییر گاما با درجه کم و متوسط Scanora (Astara32 version 3.00, Sor- dex, Finland) و زیاد در نرمافزار Xgenus dc (de Gotzen, Italy) موره پردازش قرار گرفتند و یافته‌ها در ۲ نوع رادیوگرافی با استاندارد طلایی محاسبه و در تحلیل آماری به کار گرفته شدند. پرتوتابی به صفحات و با دستگاه Xgenus dc (de Gotzen, Italy) و شرایط اکسپوزر ۷۰ kVp، ۸ mA، ۰/۳۲ ثانیه، با ضخامت فیلتراسیون کلی آلومینیوم ۲ میلی‌متر و فاصله ۳۲ سانتی‌متر تهیه شد. یک



تصویر ۱. گروه کنترل با گاما کم، متوسط و زیاد



تصویر ۲. گروه شکستگی عمودی ریشه با گاما کم، متوسط و زیاد



مجله علمی پژوهشی
جندی شاپور

تصویر ۳. مقایسه اختصاصیت و حساسیت در روش‌های مختلف پردازش تصویر در تشخیص شکستگی در مشاهده‌گر اول

ادامه ارائه می‌شود.

نظرات مشاهده‌گرها ثبت شد و تصاویر رادیوگرافی پری اپیکال دیجیتال برای هر مشاهده‌گر در ۳ حالت گاما کم، گاما متوسط و گاما زیاد به دست آمد. شاخص‌های برآورد اعتبار شامل حساسیت و اختصاصیت محاسبه شدند و نیز صحت کلیا استفاده از تحلیل‌های تحت منحنی راک محاسبه شد.

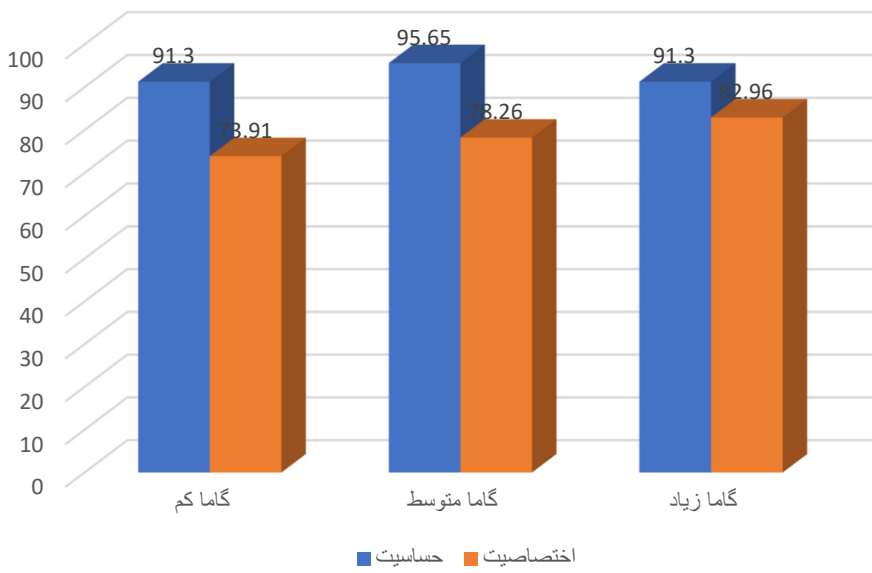
تحلیل آماری مشاهده تصاویر رادیوگرافی دیجیتال با میزان گاما کم توسط مشاهده‌گر اول نشان داد حساسیت، ویژگی و

$$2. N = \frac{(1/96)^2 \times 0/68 \times 0/31}{(0/11^2)} = 23$$

$$Z_{1-\alpha/2} = 1/96 = 1.96$$

یافته‌ها

بعد از جمع‌آوری داده‌ها و وارد کردن اطلاعات در نرم‌افزار SPSS فرضیه‌های تحقیق با استفاده از آزمون کاپا و مکنمار در



مجله علمی پژوهشی
جندی شاپور

تصویر ۴. مقایسه اختصاصیت و حساسیت در روش‌های مختلف پردازش تصویر در تشخیص شکستگی در مشاهده‌گر دوم

جدول ۱. مقایسه تعداد پاسخهای مثبت واقعی، منفی واقعی، مثبت کاذب و منفی کاذب در روش‌های مختلف پردازش تصویر در تشخیص وجود شکستگی در مشاهده‌گر اول

تصویر	منفی واقعی	منفی کاذب	مثبت کاذب	منفی کاذب	نتایج
گامای کم	۲۱	۱۷	۶	۲	
گامای متوسط	۲۲	۱۸	۵	۱	
گامای زیاد	۲۱	۲۰	۳	۲	

محله علمی پژوهشی
جندي شاپور

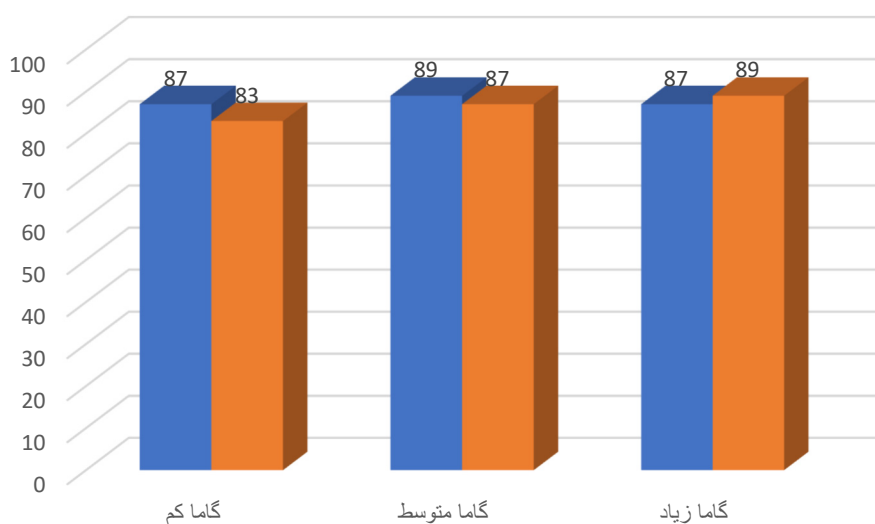
جدول ۲. مقایسه تعداد پاسخهای مثبت واقعی، منفی واقعی، مثبت کاذب و منفی کاذب در روش‌های مختلف پردازش تصویر در تشخیص وجود شکستگی در مشاهده‌گر دوم

تصویر	منفی واقعی	منفی کاذب	مثبت کاذب	منفی کاذب	نتایج
گامای کم	۲۱	۱۹	۴	۲	
گامای متوسط	۲۱	۲۰	۳	۲	
گامای زیاد	۱۹	۲۱	۲	۴	

محله علمی پژوهشی
جندي شاپور

تحلیل آماری مشاهده تصاویر گامای متوسط توسط مشاهده‌گر اول نشان داد که حساسیت، ویژگی و صحت کلی بهترین روش تصویربرداری رادیوگرافی دیجیتال بین روش تصویربرداری گامای متوسط و واقعیت تفاوت معنادار آماری وجود ندارد ($P=0.999$). توافق بین تصویر گامای کم و واقعیت تفاوت معنادار آماری وجود ندارد ($P=0.688$) واقعیت بین تصویر گامای متوسط و واقعیت ($P=0.783$) است (تصویر شماره ۳).

صحت کلی بهترین روش تصویربرداری رادیوگرافی دیجیتال با میزان گاما کم و واقعیت تفاوت معنادار آماری وجود ندارد ($P=0.739$). توافق بین تصویر گامای کم و واقعیت ($P=0.87$) است (تصویر شماره ۳).



محله علمی پژوهشی
جندي شاپور

تصویر ۵. مقایسه صحت کلی در روش‌های مختلف پردازش تصویر در تشخیص شکستگی در بین مشاهده‌گرهای

مجله علمی پژوهشی
جندي شاپور

جدول ۳. توافق بین مشاهده‌گر اول و دوم در حالت گامای کم: ۰/۴۷۰ (آزمون کاپا)

مشاهده‌گر	حساسیت	اختصاصیت	ارزش اخباری مثبت	ارزش اخباری منفی	مساحت زیر منحنی راک	درصد
اول	۹۱/۳۰ (۷۱/۹۶ ۹۸/۹۳)	۸۲/۵۱ (۶۱/۲۲ ۹۵/۰۵)	۸۴ (۶۳/۹۲ ۹۵/۴۶)	۹۰/۹۸ (۵۹/۵۲ ۸۸/۸۳)	۰/۸۷ (۰/۷۳ ۰/۹۵) $P < 0/001$	
دوم	۹۱/۳۰ (۷۱/۹۶ ۹۸/۹۳)	۷۳/۹۱ (۵۱/۰۹ ۸۹/۷۷)	۷۷/۷۸ (۵۷/۷۴ ۹۱/۲۸)	۸۹/۹۷ (۶۶/۸۶ ۸۸/۷۰)	۸۳ (۵۹/۹۲) $P < 0/001$	

مجله علمی پژوهشی
جندي شاپور

جدول ۴. توافق بین مشاهده‌گر اول و دوم با گامای متوسط: ۰/۷۸۱ (آزمون کاپا)

مشاهده‌گر	حساسیت	اختصاصیت	ارزش اخباری مثبت	ارزش اخباری منفی	مساحت زیر منحنی راک	درصد
اول	۸۷/۵۱ (۶۱/۲۲ ۹۵/۰۵)	۹۱/۳۰ (۷۱/۹۶ ۹۸/۹۳)	۹۰/۹۸ (۵۹/۵۲ ۸۸/۸۳)	۸۴ (۵۳/۹۲ ۹۵/۴۶)	۰/۸۷ (۰/۷۳ ۰/۹۵) $P < 0/001$	
دوم	۹۱/۳۰ (۷۱/۹۶ ۹۸/۹۳)	۸۶/۹۶ (۶۶/۴۱ ۹۷/۲۲)	۸۷/۵ (۵۷/۷۴ ۸۷/۳۴)	۹۰/۹۱ (۷۰/۸۴ ۹۸/۸۸)	۰/۸۹ (۰/۷۶ ۰/۹۶) $P < 0/001$	

مجله علمی پژوهشی
جندي شاپور

جدول ۵. توافق بین مشاهده‌گر اول و دوم در تصاویر گامای زیاد: ۰/۷۸۳ (آزمون کاپا)

مشاهده‌گر	حساسیت	اختصاصیت	ارزش اخباری مثبت	ارزش اخباری منفی	مساحت زیر منحنی راک	درصد
اول	۹۱/۳۰ (۷۱/۹۶ ۹۸/۹۳)	۸۶/۹۶ (۶۶/۴۱ ۹۷/۲۲)	۸۷/۵ (۵۷/۶۴ ۹۷/۳۴)	۹۰/۹۱ (۷۰/۸۴ ۹۸/۸۸)	۰/۸۹ (۰/۷۶ ۰/۹۶) $P < 0/001$	
دوم	۹۵/۶۵ (۷۷/۰۵ ۹۹/۸۹)	۷۸/۲۶ (۵۶/۳۰ ۹۲/۵۴)	۸۱/۴۸ (۶۱/۹۲ ۹۳/۷۰)	۹۴/۷۴ (۷۳/۹۷ ۹۹/۸۷)	۰/۸۷ (۰/۷۳ ۰/۹۵) $P < 0/001$	

مجله علمی پژوهشی
جندي شاپور

تفاوت معنادار آماری وجود ندارد ($P=0/۲۸۹$). توافق بین تصویر گامای کم و واقعیت ۰/۶۵۲ است (تصویر شماره ۴).

تحلیل آماری مشاهده تصاویر رادیوگرافی دیجیتال با میزان گامای متوسط توسط مشاهده‌گر دوم نشان داد حساسیت، ویژگی و صحت کلی بهترین نتیجه است. آزمون مکنمار نشان داد بین روش تصویربرداری گامای زیاد و واقعیت تفاوت معنادار آماری وجود ندارد ($P=0/۶۸۸$). توافق بین تصویر گامای زیاد و واقعیت ۰/۷۳۹ است (تصویر شماره ۳).

تحلیل آماری مشاهده تصاویر رادیوگرافی دیجیتال با میزان گامای کم نشان داد حساسیت، ویژگی و صحت کلی بهترین نتیجه ۸۲/۶۱، ۹۱/۳۰ و ۸۷ درصد است. آزمون مکنمار نشان داد بین روش تصویربرداری گامای زیاد و واقعیت تفاوت معنادار آماری وجود ندارد ($P=0/۶۸۸$). توافق بین تصویر گامای زیاد و واقعیت ۰/۷۳۹ است (تصویر شماره ۳).

تحلیل آماری مشاهده تصاویر رادیوگرافی دیجیتال با میزان گامای کم توسط مشاهده‌گر دوم نشان داد حساسیت، ویژگی و صحت کلی بهترین نتیجه ۹۱/۳۰، ۹۱/۹۱، ۷۳/۹۱ و ۸۳ درصد است. آزمون مکنمار نشان داد بین روش تصویربرداری گامای کم و واقعیت

مساحت زیر منحنی راک مشاهده‌گر دوم در حالت تصاویر با گامای کم ۸۳ درصد و در حالت تصاویر با گامای متوسط ۸۷ درصد و با گامای زیاد ۸۹ درصد بود که بین این مساحت‌های زیر منحنی راک اختلاف معنادار آماری وجود ندارد ($P > 0.05$).

بحث

شکستگی عمودی ریشه همیشه سبب ناراحتی مشخص بیمار نمی‌شود، اما در طولانی‌مدت توانایی تخریب پیش‌رونده الیاف پریودنتال، استخوان و سایر بافت‌های حمایت‌کننده را دارد. تشخیص قطعی شکستگی عمودی ریشه به صورت مشاهده مستقیم ریشه با یا بدون مداخله جراحی است. بدیهی است که رادیوگرافی می‌تواند کمک شایانی به تشخیص این مشکل دندانی کند [۱۰]. به طور معمول، رادیوگرافی بکی از راههای کمک‌کننده در تشخیص شکستگی عمودی ریشه است. در حال حاضر رادیوگرافی دیجیتال به طور وسیعی جهت شناسایی شکستگی عمودی ریشه به کار برده می‌شود [۱۱]. در سال‌های اخیر سیستم‌های رادیوگرافی دیجیتال داخل‌دهانی متعددی به عرصه دندان‌پزشکی معروف شده‌اند. مهم‌ترین مزایای این سیستم‌ها عبارت‌اند از: کاهش d^2 اشعه \times ، قابلیت تبادل اطلاعات، کاهش زمان کار و حذف ظهور و ثبوت با محلول. از دیگر فواید رادیوگرافی دیجیتال، امکان بهبود تصاویر بعد از اکسپوژر توسط نرم‌افزارها و فیلترهای پردازش تصویر است [۱۲]. استفاده از فیلترهای نرم‌افزاری می‌تواند فقدان کیفیت تصویر را که ناشی از اکسپوژر کم و یا نویز است، کاهش دهد و همراه با کاهش در d^2 اکسپوژر باشد. در تعدادی از مطالعات رزولوشن و دامنه تصاویر دیجیتال پایین‌تر از رادیوگرافی معمولی ارزیابی شده است. اگرچه تصویر دیجیتال دارای این قابلیت ممتاز است که با کاربرد ابزار نرم‌افزار پردازش (پروسسینگ) تصویر، می‌توان اطلاعات بالرزش را بهبود بخشید و عوامل مخل در کیفیت تصویر را کاهش داد [۱۳]. گامایی یک تصویر ویژگی کاربردی تصویربرداری دیجیتال است. به گونه‌ای که با تغییر مقدار گامای تصویر، کنتراست تصویر به طور انتخابی در مناطق روشن تر یا تیره‌تر تصویر افزایش می‌یابد [۱۴]. مطالعاتی که در زمینه مقایسه دقت رادیوگرافی دیجیتال با و بدون استفاده از فیلترهای پردازش تصویر در تشخیص شکستگی عمودی ریشه انجام گرفته، بسیار محدودند.

مهرعلیزاده و همکاران در سال ۱۳۹۴ ارزیابی دقت نرم‌افزار کنتراست معکوس در رادیوگرافی دیجیتال جهت تشخیص شکستگی عمودی ریشه دندان را بررسی کردند. در این مطالعه تشخیصی از ۴۰ دندان تکریشه خارج شده، تصاویری با گیرنده فسفریلیت تهیه کردند و از هر دندان در حالت سالم و شکسته، تصاویر اولیه و کنتراست معکوس تهیه و ذخیره کردند و به این نتیجه رسیدند که کاربرد گزینه نرم‌افزاری کنتراست معکوس جهت تشخیص شکستگی عمودی ریشه، اختلافی با نمای اولیه نشان نمی‌دهد [۱۴].

تحلیل آماری مشاهده تصاویر رادیوگرافی دیجیتال با میزان گامای زیاد، توسط مشاهده‌گر دوم نشان داد که حساسیت، ویژگی و صحت کلی به ترتیب $91/30$ ، $86/96$ و $0/89$ است. آزمون مکنمار نشان داد بین روش تصویربرداری با گامای زیاد و واقعیت تقاضوت معنی دار آماری وجود ندارد ($P = 0.999$). توافق بین تصویر با گامای زیاد و واقعیت شماره ۰/۷۸۳ است (تصویر شماره ۴).

در مشاهده‌گر اول بیشترین میزان پاسخ‌های مثبت واقعی به تصاویر با گامای کم و متوسط و بیشترین میزان منفی واقعی به تصاویر با گامای زیاد و در مشاهده‌گر دوم بیشترین موارد مثبت و منفی واقعی به گامای متوسط و شدید تعلق دارد (جدول شماره ۱ و ۲).

تحلیل آماری مشاهده تصاویر رادیوگرافی دیجیتال با میزان گامای کم توسط مشاهده‌گر اول نشان داد که حساسیت، ویژگی و صحت کلی به ترتیب $91/30$ ، $82/61$ و $0/87$ و در مشاهده‌گر دوم به ترتیب $91/30$ ، $82/61$ و $0/87$ درصد است (جدول شماره ۳).

تحلیل آماری مشاهده تصاویر رادیوگرافی دیجیتال با میزان گامای زیاد، توسط مشاهده‌گر اول نشان داد که حساسیت، ویژگی و صحت کلی به ترتیب $91/30$ ، $82/61$ و $0/87$ درصد است و در مشاهده‌گر دوم به ترتیب $91/30$ ، $86/96$ و $0/89$ است (جدول شماره ۴).

تحلیل آماری مشاهده تصاویر رادیوگرافی دیجیتال با میزان گامای متوسط، توسط مشاهده‌گر اول نشان داد که حساسیت، ویژگی و صحت کلی به ترتیب $91/30$ ، $86/96$ و $0/89$ درصد است و در مشاهده‌گر دوم به ترتیب $91/30$ ، $82/61$ و $0/87$ درصد است (جدول شماره ۵).

برای مشاهده‌گر اول بیشترین صحت کلی مربوط به تصاویر با گامای متوسط و برای مشاهده‌گر دوم بیشترین صحت کلی مربوط به تصاویر با گامای زیاد و بعد از آن به گامای متوسط تعلق دارد (تصویر شماره ۵).

در مشاهده‌گر اول بیشترین حساسیت به تصاویر با گامای کم و متوسط و بیشترین اختصاصیت مربوط به تصاویر با گامای زیاد است. در مشاهده‌گر دوم بیشترین حساسیت به گامای متوسط و بیشترین اختصاصیت به تصاویر با گامای زیاد و بعد از آن به گامای متوسط تعلق دارد (تصاویر شماره ۳ و ۴).

آزمون مقایسه مساحت زیر منحنی راک^۷

مساحت زیر منحنی راک مشاهده‌گر اول در حالت تصاویر با گامای کم ۸۷ درصد و در حالت تصاویر با گامای متوسط ۸۹ درصد و با گامای زیاد ۸۷ درصد بود که بین این مساحت‌های زیر منحنی راک اختلاف معنادار آماری وجود ندارد ($P > 0.05$).

مواردی که در ادامه می‌آیند پیشنهادات این مطالعه هستند: بررسی تأثیر فیلترهای پردازش تصویر در شناسایی شکستگی عمودی ریشه در سایر سیستم‌های دیجیتال؛ بررسی تأثیر سایر فیلترهای پردازش تصویر مانند 3D emboss وغیره در شناسایی شکستگی عمودی ریشه و در صورت امکان انجام مطالعه به صورت invivo و مقایسه نتایج آن با مطالعه حاضر.

ملاحظات اخلاقی

پیروی از اصول اخلاق پژوهش

این مقاله در تاریخ ۱۳۹۹/۵/۱۲ توسط کمیته اخلاق در پژوهش دانشگاه علوم پژوهشی جندي شاپور اهواز با کد اخلاق IRAJUMS.REC.1399.98 تصویب شد.

حامي مالي

این پژوهش هیچ‌گونه کمک مالی از سازمانی‌های دولتی، خصوصی و غیرانتفاعی دریافت نکرده است.

مشاركت‌نويسندگان

تھيئه نومه و گرافی: دکتر علی حبیبی‌کیا؛ نوشتن مقاله- تحلیل آماری - تحلیل و روش‌شناسی: امیر محمد آقامیرزاده و محمدمیرزاده نظارت و مدیریت: پرنیان علوی‌نژاد.

تعارض منافع

بنابر اظهار نویسندهان، این مقاله تعارض منافع ندارد.

لی و همکاران در کشور کره‌جنوبی در سال ۲۰۰۴ دقت تشخیص شکستگی عمودی ریشه در گرافی پری‌آپیکال معمولی را با گرافی پری‌آپیکال دیجیتال ارزیابی کردند. در این مطالعه تشخیصی از ۶۱ دندان تکریشه استفاده کردند و از هر دندان در حالت سالم و شکسته، تصاویر اورجینال و کنتراست معکوس گرفتند و به این نتیجه رسیدند که استفاده از تصاویر کنتراست معکوس نسبت به تصاویر اورجینال دارای ارزش تشخیصی بیشتری است که البته از نظر آماری معنادار نبود، اما تشخیص شکستگی افقی ریشه را تسهیل می‌کرد [۱۵].

ناسیمنتو و همکاران در سال ۲۰۱۵ در کشور بربل مطالعه‌ای برای مقایسه اثر فیلترهای پردازشی دیجیتال بر روی تشخیص شکستگی عمودی ریشه انجام دادند. آن‌ها بر روی ۴۰ دندان تکریشه در ۲ گروه تصادفی کنترل و آزمایش - که گروه آزمایش به طور مصنوعی دچار شکستگی عمودی ریشه شده بودند - این بررسی را انجام دادند و از همه دندان‌ها رادیوگرافی دیجیتال با ۳ زاویه افقی مختلف تهیه شد. ۳ مشاهده‌گر به طور جداگانه تصاویر اورجینال و فیلترشده (3D emboss, negative, sharpen, shadow) را بررسی کردند و بیشترین ارزش تشخیصی زمان استفاده از فیلتر شارپ به دست آمد ($P < 0.05$). آن‌ها به این نتیجه دست یافتند که هنگام استفاده از سیستم Digora Op-time فیلتر شارپ برای بهبود تشخیص رادیوگرافیک شکستگی عمودی ریشه بهتر است [۱۶].

باتوجه به آزمون‌های انجام‌شده و نتایج، در هر ۳ روش حساسیت و اختصاصیت و صحت کلی بالا بود و اختلاف معناداری بین ۳ حالت مشاهده نشود و در مجموع نتایج در حالات گامای متوسط و گامای زیاد کمی بهتر از گامای کم مشاهده شد که بسته به نظر مشاهده‌گر می‌توان از آن در جهت تشخیص استفاده کرد.

نتیجه‌گیری

در هر ۳ حالت گاما، حساسیت، اختصاصیت و صحت کلی بالا بود و تفاوت چندانی مشاهده نشد. بنابراین باتوجه به نتایج اندکی بهتر در میزان گامای زیاد، تصاویر با گامای زیاد که جهت تشخیص شکستگی عمودی ریشه به کار می‌روند، می‌توانند به عنوان یک فیلتر مورد پردازش قرار بگیرند و تصاویر با گامای متوسط و کم به میزان نسبتاً کمتری در شناسایی شکستگی عمودی ریشه به ما کمک می‌کنند.

از مشکلات طرح می‌توان به ایجاد شکستگی عمودی به صورت مصنوعی اشاره کرد که نیازمند ظرافت و دقت بسیار حین تراش بهو سیله دیسک است. نمونه‌هایی که به صورت نادرست تراش می‌خورند، از مطالعه خارج می‌شوند.

References

- [1] Walton RE, Torabi Nejad M. Principles and practice of endodontics. Philadelphia: Saunders Company; 2002. [\[Link\]](#)
- [2] Bornstein MM, Lauber R, Sendi P, Von Arx T. Comparison of periapical radiography and limited cone-beam computed tomography in mandibular molars for analysis of anatomical landmarks before apical surgery. *J Endod.* 2011; 37(2):151-7. [\[DOI:10.1016/j.joen.2010.11.014\]](#) [\[PMID\]](#)
- [3] Moudi E, Haghifar S, Madani Z, Alhvaz A, Bijani A, Bagheri M. Assessment of vertical root fracture using cone-beam computed tomography. *Imaging Sci Dent.* 2014; 44(1):37-41. [\[DOI:10.5624/isd.2014.44.1.37\]](#) [\[PMID\]](#) [\[PMCID\]](#)
- [4] White SC, Pharoah MJ. Oral radiology principle and interpretation. Amsterdam: Elsevier Health Sciences; 2008. [\[Link\]](#)
- [5] van der Stelt PF. Better imaging: The advantages of digital radiography. *J Am Dent Assoc.* 2008; 139 Suppl:7S-13S. [\[DOI:10.14219/jada.archive.2008.0357\]](#) [\[PMID\]](#)
- [6] Van der Stelt PF. Filmless imaging: The uses of digital radiography in dental practice. *J Am Dent Assoc.* 2005; 136(10):1379-87. [\[DOI:10.14219/jada.archive.2005.0051\]](#) [\[PMID\]](#)
- [7] Kamburoğlu K, Murat S, Pehlivan SY. The effects of digital image enhancement on the detection of vertical root fracture. *Dent Traumatol.* 2010; 26(1):47-51. [\[DOI:10.1111/j.1600-9657.2009.00841.x\]](#) [\[PMID\]](#)
- [8] Mehdizadeh M, Khademi AA, Shokraneh A, Farhadi N. Effect of digital noise reduction on the accuracy of endodontic file length determination. *Imaging Sci Dent.* 2013; 43(3):185-90. [\[DOI:10.5624/isd.2013.43.3.185\]](#) [\[PMID\]](#) [\[PMCID\]](#)
- [9] Khademi A, Yazdizadeh M, Feizianfar M. Determination of the minimum instrumentation size for penetration of irrigants to the apical third of root canal system. *J Endod.* 2006; 32(5):417-20. [\[DOI:10.1016/j.joen.2005.11.008\]](#) [\[PMID\]](#)
- [10] Lertchirakarn V, Palamara JE, Messer HH. Patterns of vertical root fracture: Factors affecting stress distribution in the root canal. *J Endod.* 2003; 29(8):523-8. [\[DOI:10.1097/00004770-200308000-00008\]](#) [\[PMID\]](#)
- [11] Haite-Neto F, Casanova MS, Frydenberg M, Wenzel A. Task-specific enhancement filters in storage phosphor images from the Vistascan system for detection of proximal caries lesions of known size. *Oral Surg Oral Med Oral Pathol Oral Radiol Endod.* 2009; 107(1):116-21. [\[DOI:10.1016/j.tripleo.2008.09.031\]](#) [\[PMID\]](#)
- [12] Haite-Neto F, dos Anjos Pontual A, Frydenberg M, Wenzel A. Detection of non-cavitated approximal caries lesions in digital images from seven solid-state receptors with particular focus on task-specific enhancement filters. An ex vivo study in human teeth. *Clin Oral Investig.* 2008; 12(3):217-23. [\[DOI:10.1007/s00784-007-0173-5\]](#) [\[PMID\]](#)
- [13] Ritter AV. Sturdevant's art and science of operative dentistry. Amsterdam: Elsevier Health Sciences; 2002. [\[Link\]](#)
- [14] Mehralizadeh S, Mehrvarzfar P, Taghizadeh S, Edalat M, Mohabbi M. [Reverse contrast enhancement in digital radiography in detection of vertical root fracture (in vitro) (Persian)]. *J Dent Med Tehran Univ Med Sci.* 2015; 28(2):115-21. [\[Link\]](#)
- [15] Lee JU, Kwon KJ, Koh KJ. Diagnostic accuracy of artificially induced vertical root fractures: A comparison of direct digital periapical images with conventional periapical images. *Korean J Oral Maxillofac Radiol.* 2004; 185-90. [\[Link\]](#)
- [16] Nascimento HA, Ramos AC, Neves FS, de-Azevedo-Vaz SL, Freitas DQ. The 'Sharpen'filter improves the radiographic detection of vertical root fractures. *Int Endod J.* 2015; 48(5):428-34. [\[DOI:10.1111/iedj.12331\]](#) [\[PMID\]](#)